

Cartographie synthétique de localisation des bancs de sargasses détectés à partir des images satellite disponibles la semaine du 11 au 17 juin 2018

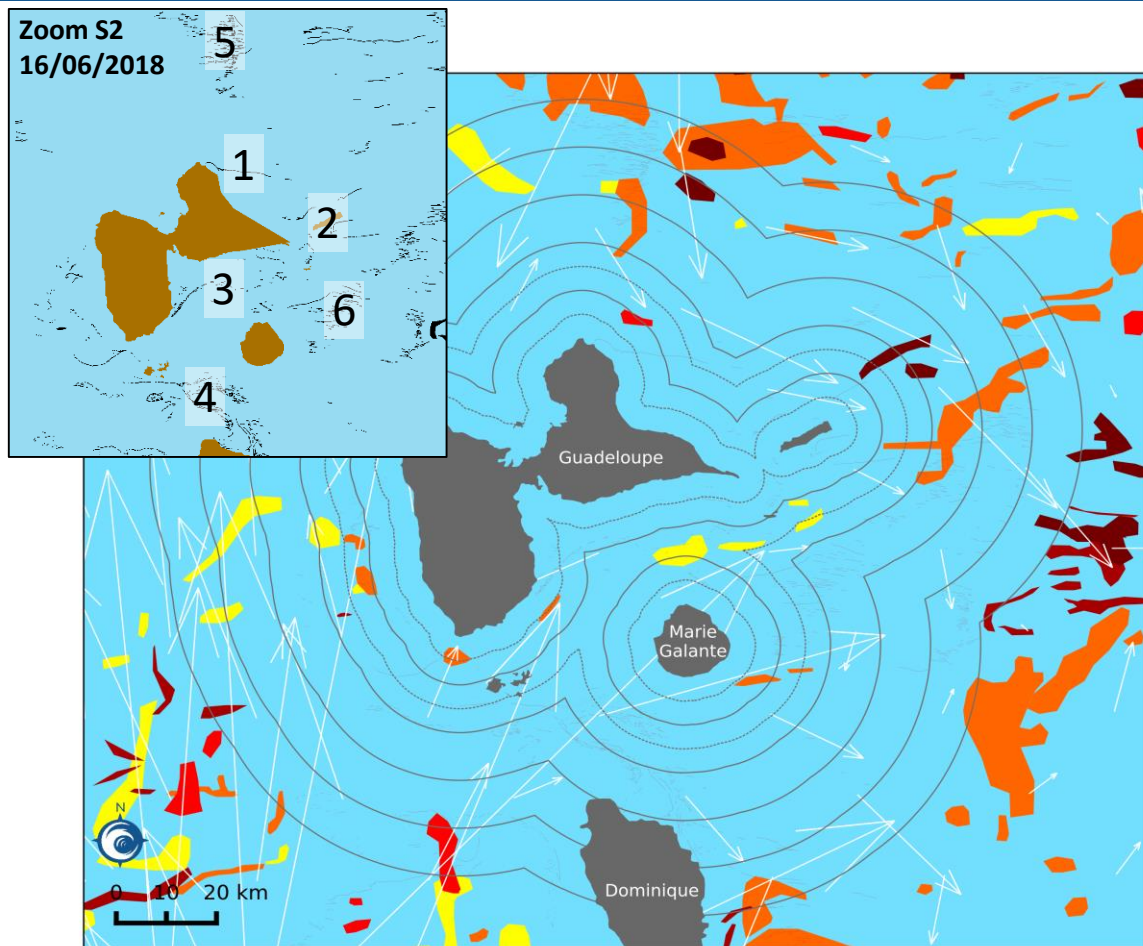
La semaine est marquée par une couverture nuageuse dense au dessus de l'archipel guadeloupéen.

Cependant, l'acquisition d'une image Sentinel 2 (10m) le samedi 16/06/2018 a révélé la présence de très nombreux radeaux à proximité immédiate des îles, notamment au nord-est de Basse-Terre (1) ainsi que tout autour de la Désirade (2).

Les radeaux visibles à proximité de la façade sud de la Guadeloupe (3) présentent un risque d'échouage dans les jours à venir.

Ceux détectés au sud et à l'est des Saintes (4) se dirigent en partie vers Marie Galante sous l'influence de courants de sud-ouest et en partie vers les Saintes.

Plusieurs radeaux arrivent par le nord (5), l'évolution de leur trajectoire est à surveiller. De même, les radeaux situés au nord-est de Marie Galante (6) sont à suivre dans les prochains jours.



RISQUE : ECHOUAGE MAJEUR POUR LA GUADELOUPE, LA DESIRADE, MARIE GALANTE ET LES SAINTES

Radeaux de sargasses	
	11/06
	12/06
	13/06
	14/06
	15/06
	16/06
	17/06

Sources :	Système de coordonnées : UTM 20N
Réalisation : i-Sea 2018	
Traitements issus des produits AFAI (University of South Florida) pour la semaine du 11/06/2018 au 17/06/2018	
Produits AFAI dérivés des images MODIS/VIIRS 1km © NASA	
Image Sentinel 3 – 300m – du 16/06/2018 © CNES;	
Image Sentinel 2 – 10m – du 16/06/2018 © ESA	

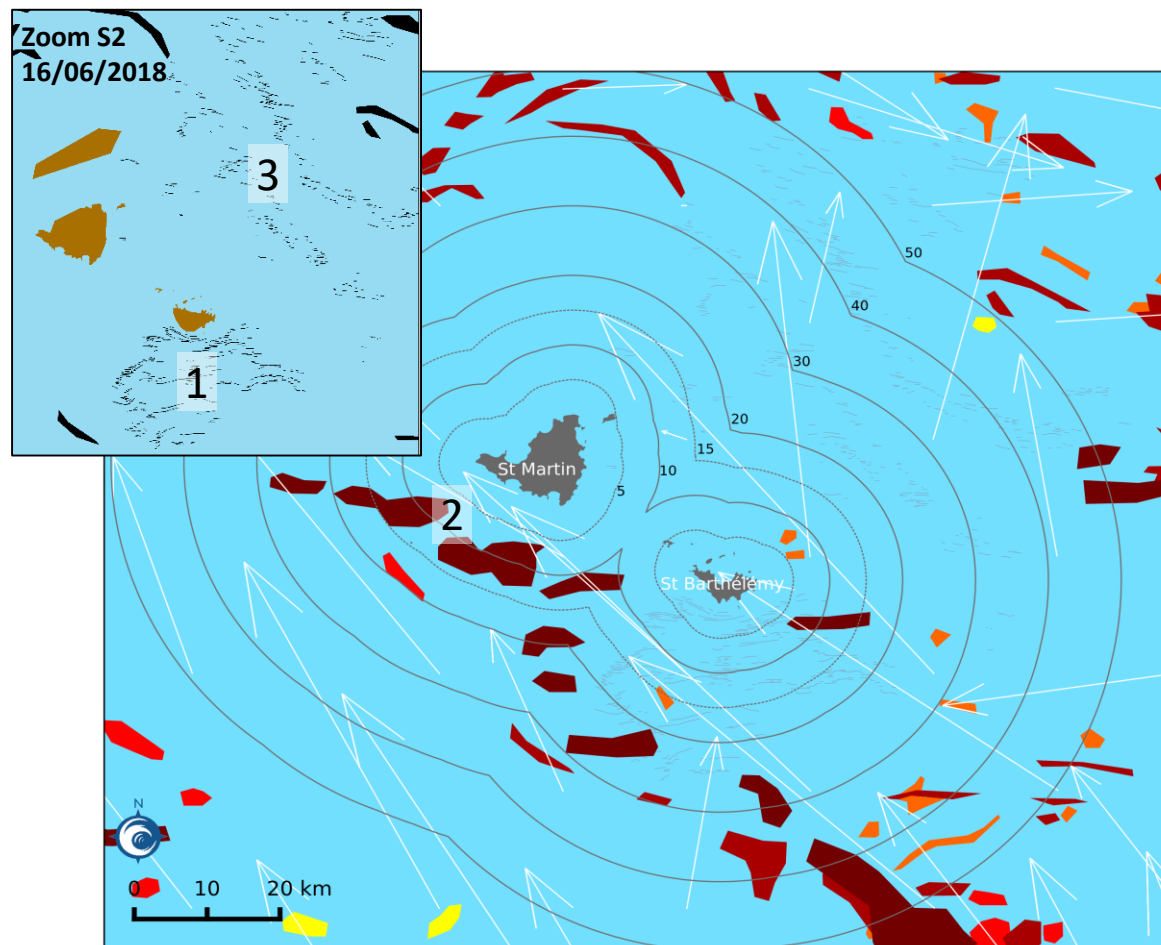
Cartographie synthétique de localisation des bancs de sargasses détectés à partir des images satellite disponibles la semaine du 11 au 17 juin 2018

La semaine est marquée par une couverture nuageuse dense autour des îles du Nord.

L'image Sentinel 2 acquise le 16/06/2018 couvre une partie de l'archipel (zoom S2) et permet de préciser les contours des radeaux visibles au sud de Saint-Barthélemy (1). Ces radeaux sont nombreux, et les courants du 17/06/2018, orientés majoritairement vers le nord-ouest, transportent une partie d'entre eux vers la côte.

Les radeaux détectés au sud des deux îles (2), se déplacent vers le nord-ouest, il est probable que la traine de certains accroche Saint-Martin sur son passage.

Tout au long de la semaine, de nombreux radeaux ont été détectés au nord des deux îles (3), ils poursuivent leur dérive vers le nord sans impacter l'archipel.

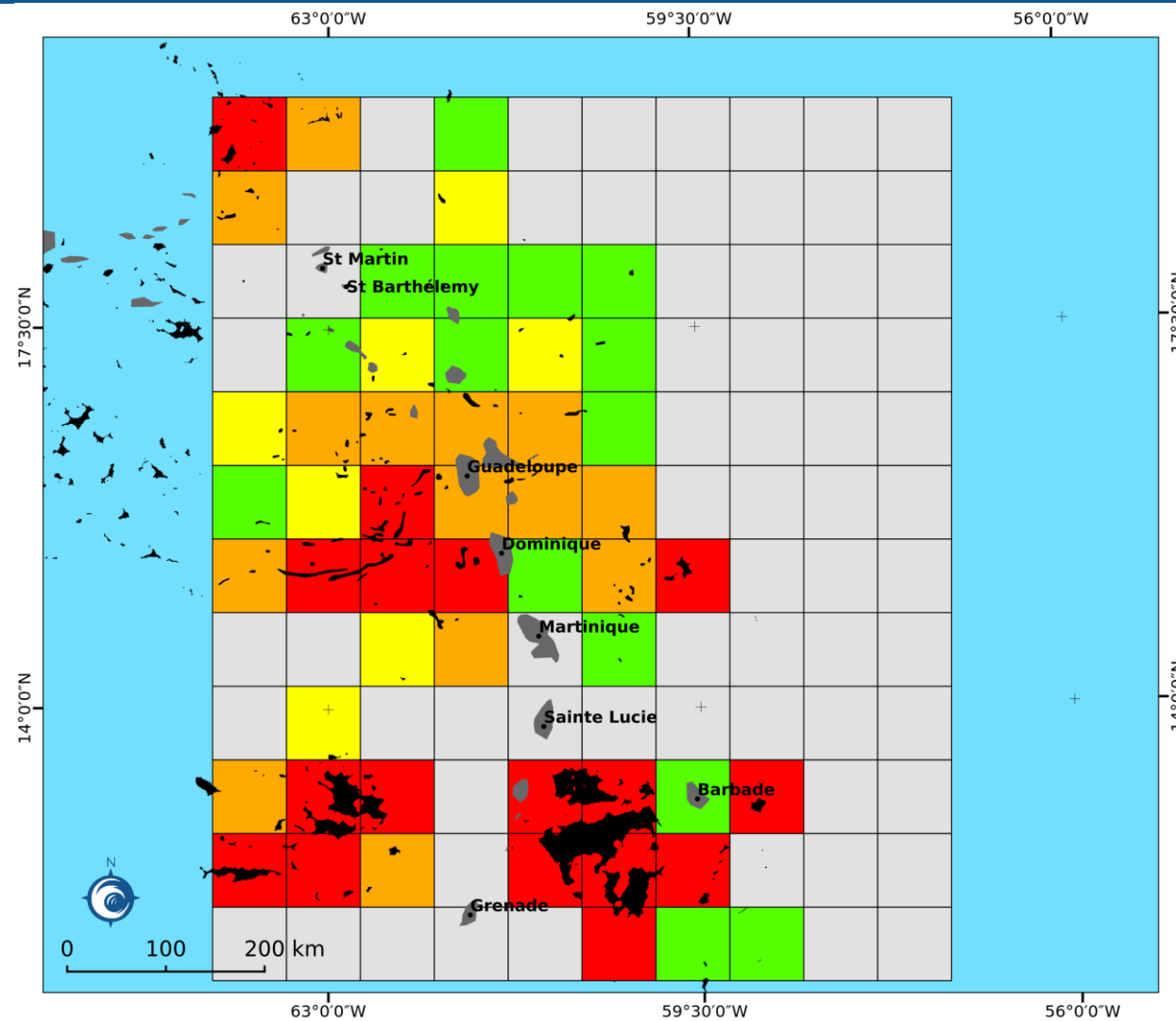


RISQUE : ECHOUAGE MAJEUR POUR SAINT-MARTIN ET SAINT-BARTHELEMY

Radeaux de sargasses	
	11/06
	12/06
	13/06
	14/06
	15/06
	16/06
	17/06

Sources :	Système de coordonnées : UTM 20N
Réalisation : i-Sea 2018	
Traitements issus des produits AFAI (University of South Florida) pour la semaine du 11/06/2018 au 17/06/2018	
Produits AFAI dérivés des images MODIS/VIIRS 1km © NASA	
Image Sentinel 3 – 300m – du 16/06/2018 © CNES;	
Image Sentinel 2 – 10m – du 16/06/2018 © ESA	

Cartographie de densité des sargasses – Lun 11/06/2018



Cotation de la densité de sargasses pour la journée du 11/06/2018

Couverture nuageuse partielle :

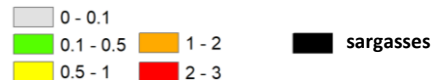
- Océan sous couvert nuageux
- Quelques fenêtres d'observation sont présentes en mer des Caraïbes.

L'image du jour révèle la présence de sargasses au nord-nord-est de Marie Galante, à environ 10 km des côtes.

Plusieurs radeaux sont également visibles à l'ouest de Basse-Terre.

A proximité des îles du Nord, un seul radeau est détecté dans le périmètre des 100 km autour de l'archipel, il est situé à environ 50 km au nord-est de Saint-Barthélemy.

% de couverture

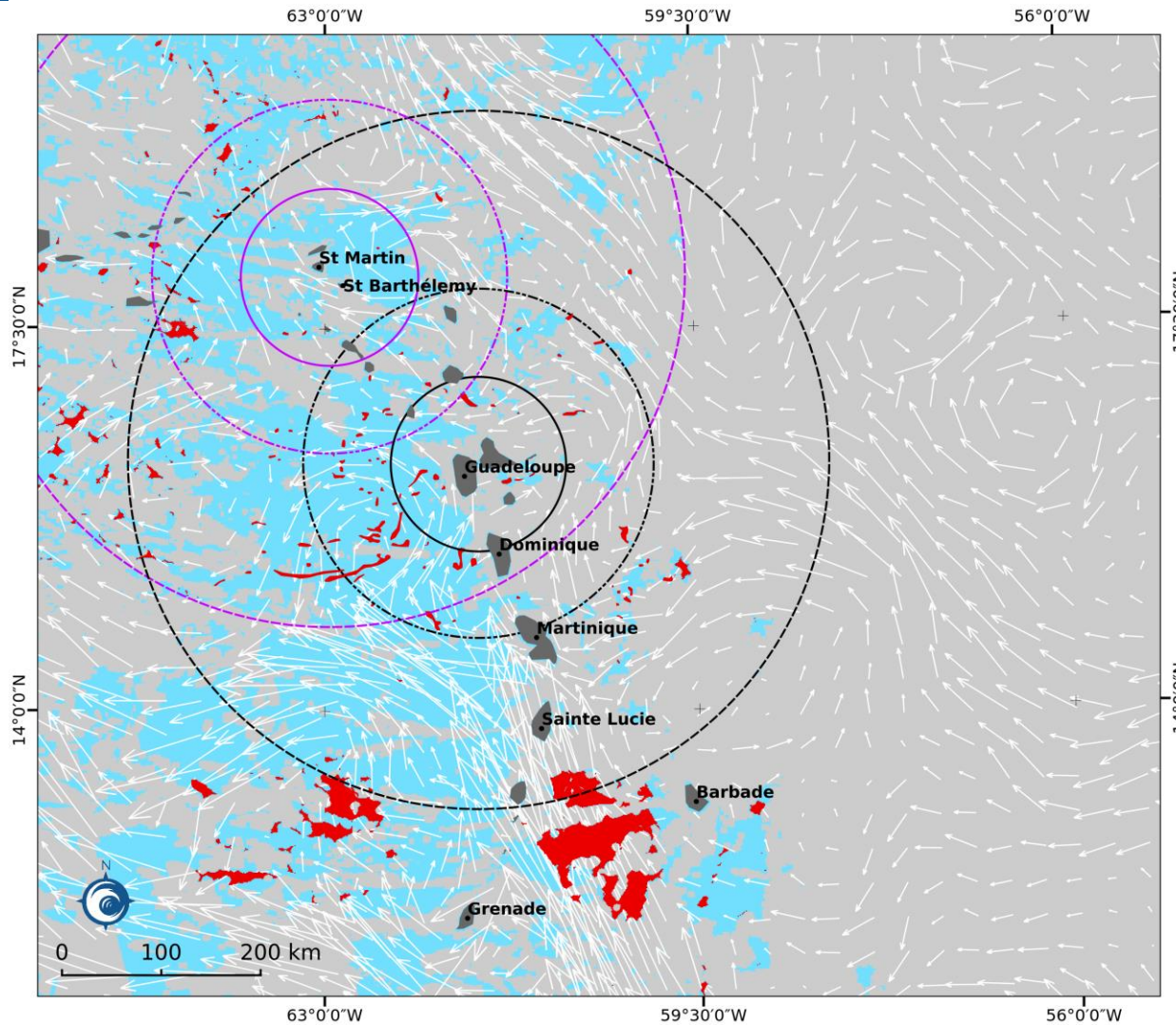


Sources :

Réalisation : i-Sea 2018
Traitements issus des produits AFAI (University of South Florida) pour la journée du 11/06/2018
Produits AFAI dérivés des images MODIS/VIIRS 1km © NASA

Système de coordonnées : UTM 20N

Dynamique des radeaux de sargasses – Lun 11/06/2018



Radeaux de sargasses
11/06/2018

Distances (km)
100 200 400

Courants de surface
 → 10 cm/s
 → 50 cm/s
 nuages

Sources :

Réalisation : i-Sea 2018
 Traitements issus des produits AFAI (University of South Florida) pour la journée du 11/06/2018
 Produits AFAI dérivés des images MODIS/VIIRS 1km © NASA
 Courant de surface HYCOM

Système de coordonnées : UTM 20N

Superposition des radeaux de sargasses détectés à partir des images du 11/06/2018 aux courants de surface.

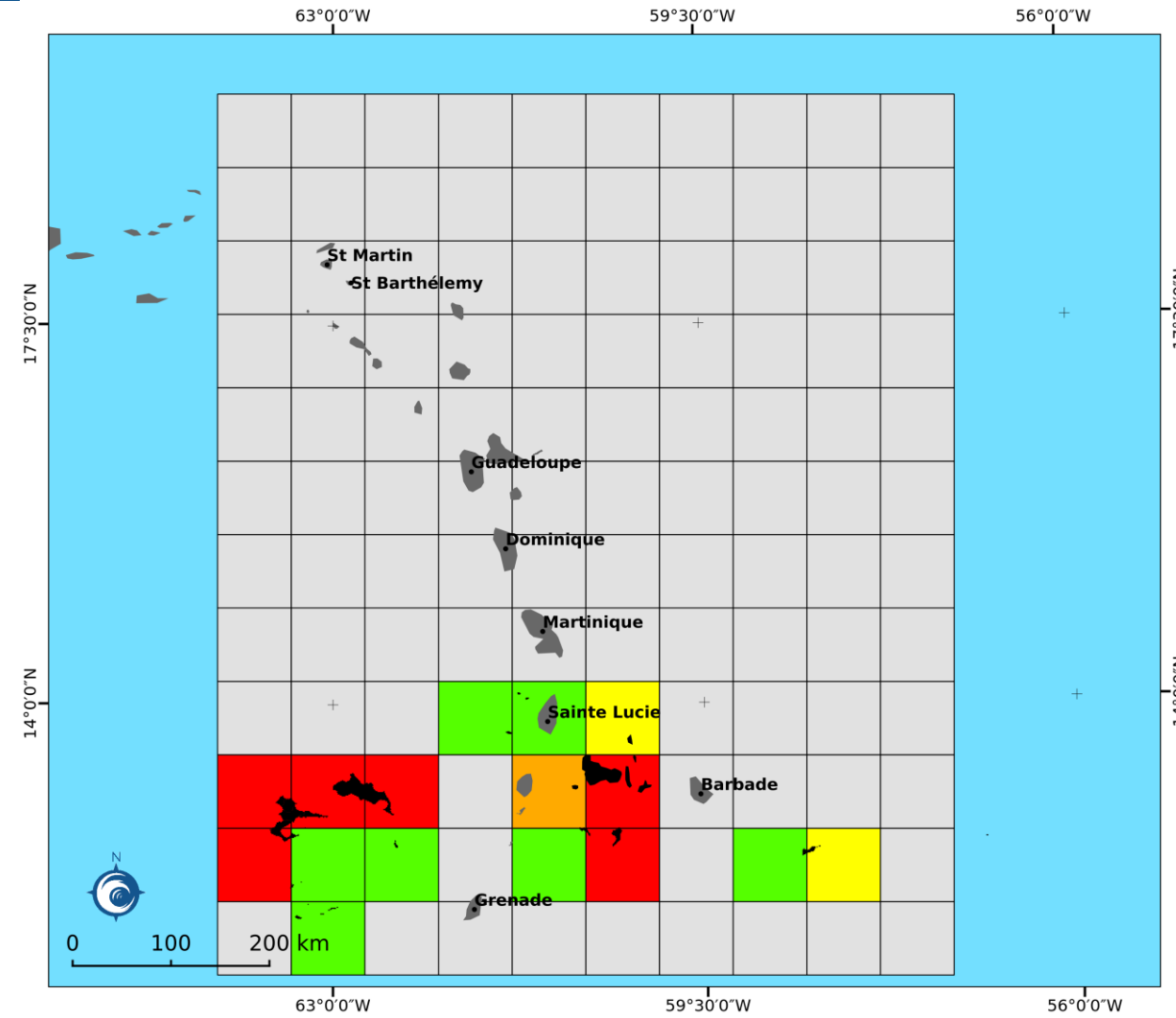
Les radeaux détectés au nord de Marie Galante sont sous l'influence de courants orientés vers l'ouest, et se dirigent donc vers la façade sud de la Guadeloupe.

La situation telle qu'observée le 11/06/2018 présente un risque d'échouage en direction de la Guadeloupe.

Les radeaux présents à l'ouest de Basse-Terre poursuivent leur dérive vers le nord-ouest.

Le radeau visible à 50 km au nord-est de Saint-Barthélemy remonte vers le nord.

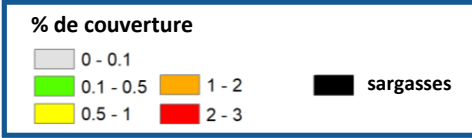
Cartographie de densité des sargasses – Mar 12/06/2018



Cotation de la densité de sargasses pour la journée du 12/06/2018

Couverture nuageuse totale sur les secteurs d'intérêt.

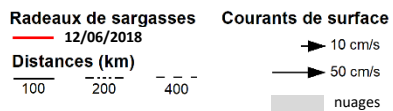
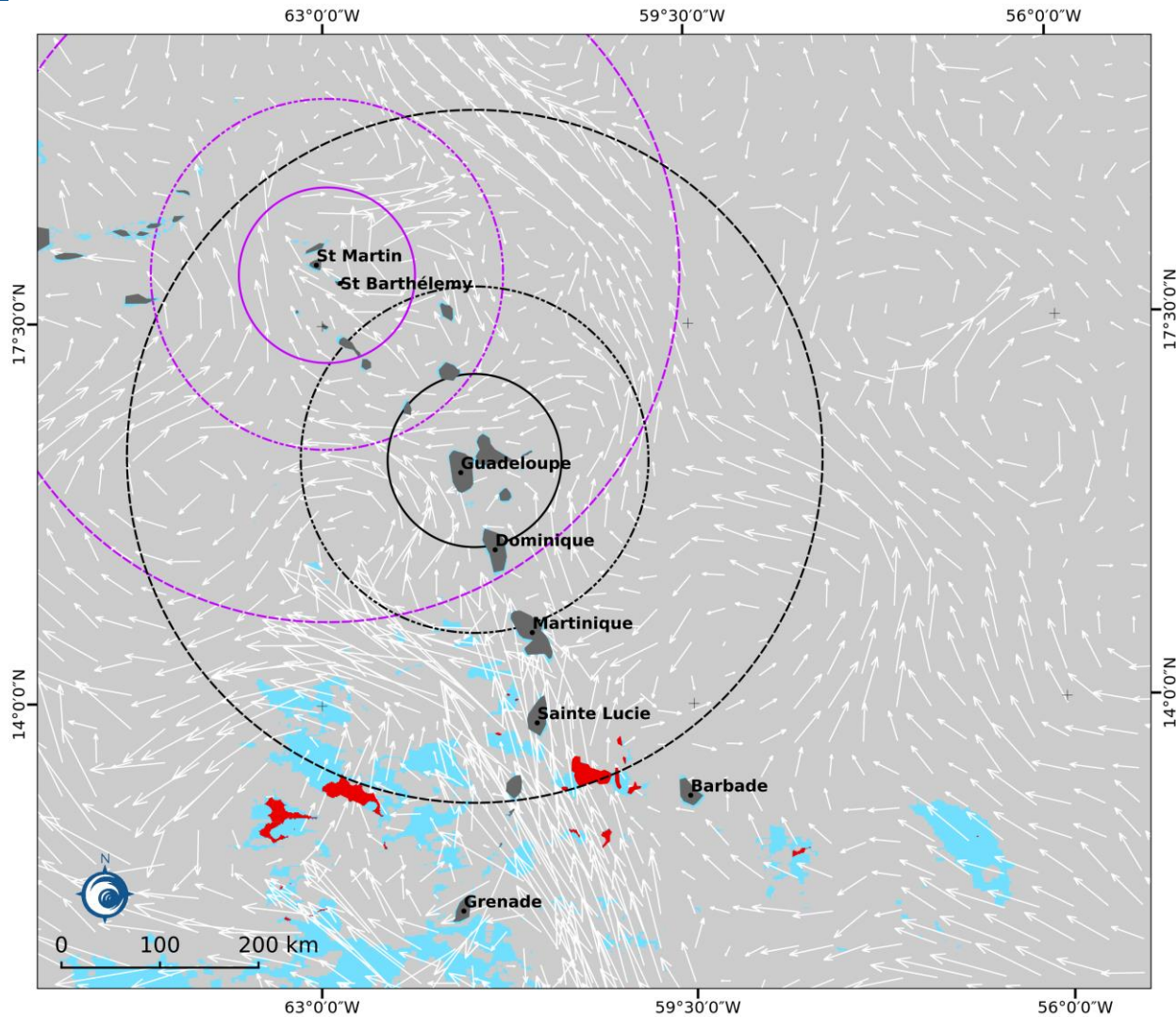
La faible capacité de détection liée à la nébulosité n'implique pas l'absence de sargasses en mer ou à proximité des îles.



Sources :
 Réalisation : i-Sea 2018
 Traitements issus des produits AFAI (University of South Florida) pour la journée du 12/06/2018
 Produits AFAI dérivés des images MODIS/VIIRS 1km © NASA

Système de coordonnées : UTM 20N

Dynamique des radeaux de sargasses – Mar 12/06/2018



Sources :

Réalisation : i-Sea 2018
 Traitements issus des produits AFAI (University of South Florida) pour la journée du 12/06/2018
 Produits AFAI dérivés des images MODIS/VIIRS 1km © NASA
 Courant de surface HYCOM

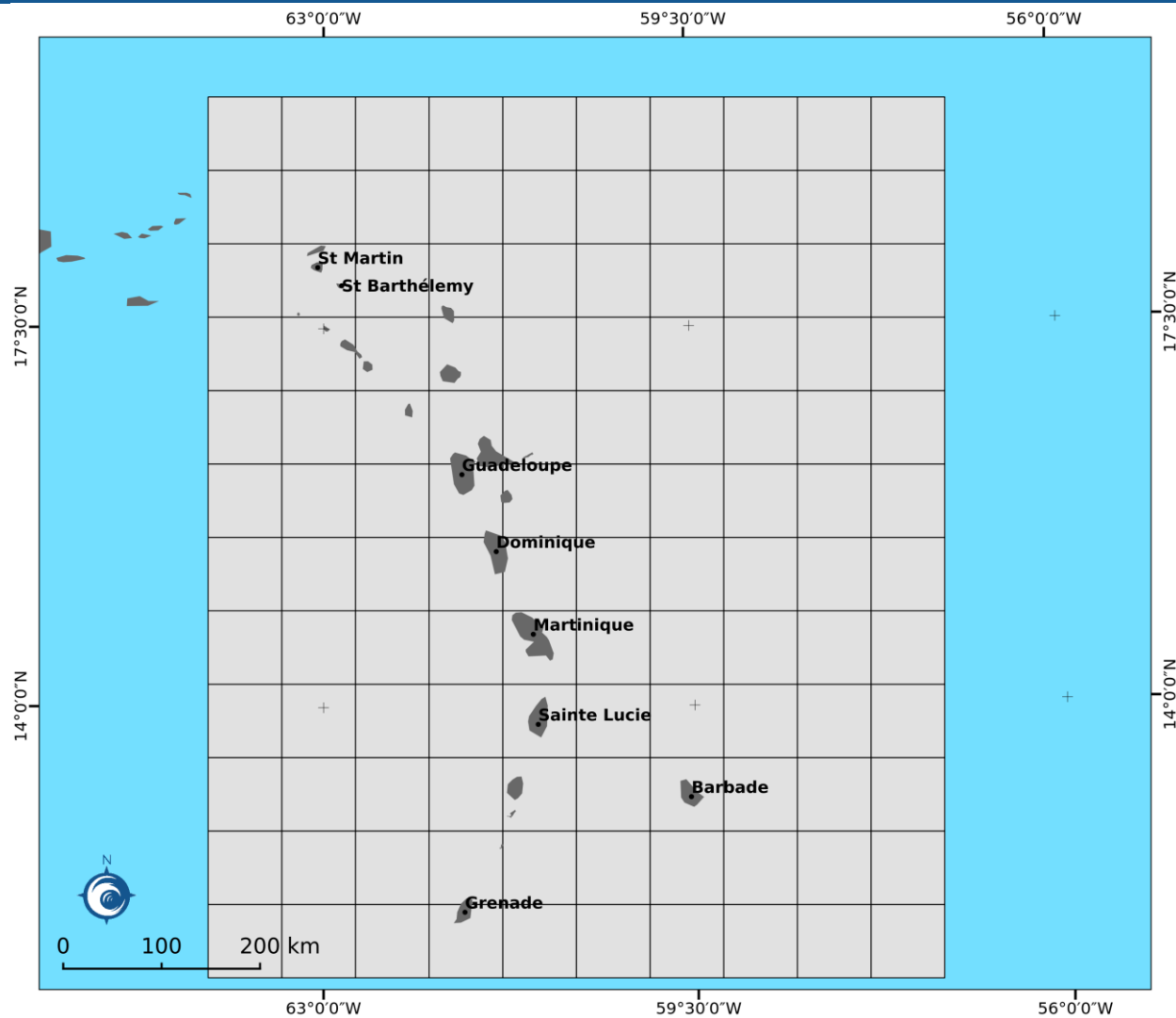
Système de coordonnées : UTM 20N

Superposition des radeaux de sargasses détectés à partir des images du 12/06/2018 aux courants de surface.

Couverture nuageuse totale sur les secteurs d'intérêt.

La faible capacité de détection liée à la nébulosité n'implique pas l'absence de sargasses en mer ou à proximité des îles.

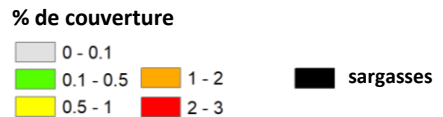
Cartographie de densité des sargasses – Mer 13/06/2018



Cotation de la densité de sargasses pour la journée du 13/06/2018

Couverture nuageuse totale sur les secteurs d'intérêt.

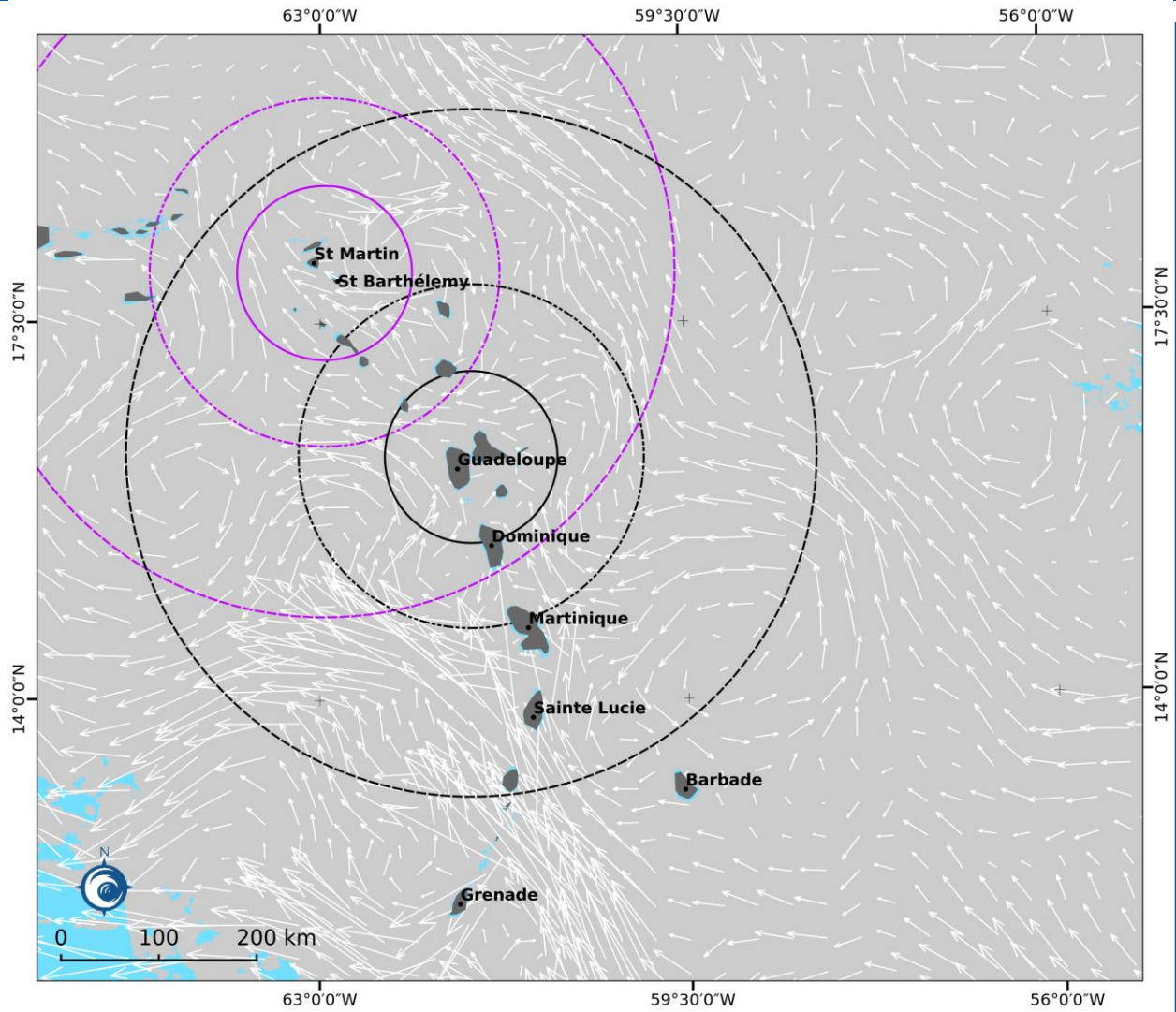
La faible capacité de détection liée à la nébulosité n'implique pas l'absence de sargasses en mer ou à proximité des îles.



Sources :
Réalisation : i-Sea 2018
Traitements issus des produits AFAI (University of South Florida) pour la journée du 13/06/2018
Produits AFAI dérivés des images MODIS/VIIRS 1km © NASA

Système de coordonnées : UTM 20N

Dynamique des radeaux de sargasses – Mer 13/06/2018



Superposition des radeaux de sargasses détectés à partir des images du 13/06/2018 aux courants de surface.

Couverture nuageuse totale sur les secteurs d'intérêt.

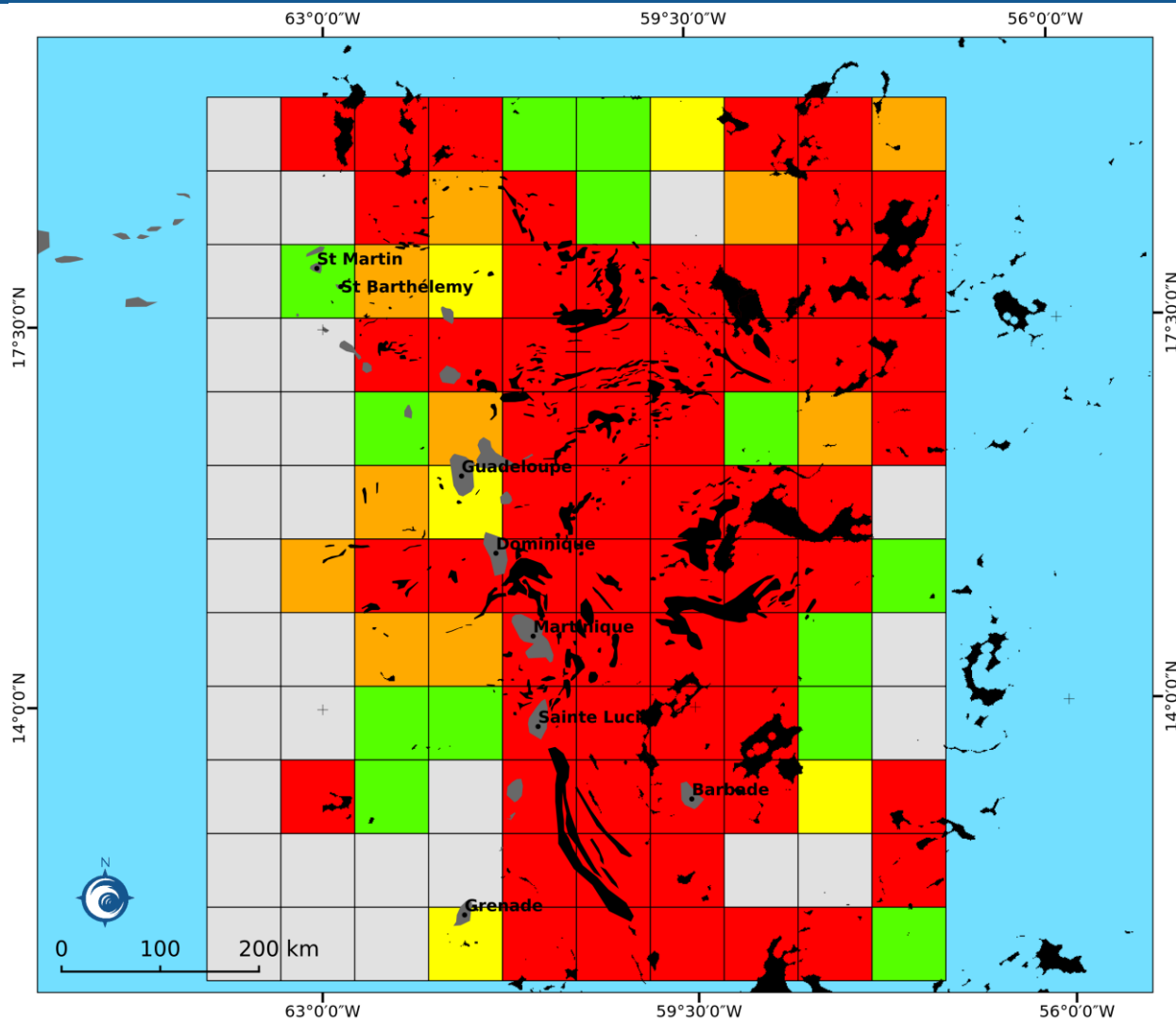
La faible capacité de détection liée à la nébulosité n'implique pas l'absence de sargasses en mer ou à proximité des îles.

Radeaux de sargasses 13/06/2018	Courants de surface
Distances (km) 100 200 400	<ul style="list-style-type: none"> → 10 cm/s → 50 cm/s ■ nuages

Sources :
Réalisation : i-Sea 2018
Traitements issus des produits AFAI (University of South Florida) pour la journée du 13/06/2018
Produits AFAI dérivés des images MODIS/VIIRS 1km © NASA
Courant de surface HYCOM

Système de coordonnées : UTM 20N

Cartographie de densité des sargasses – Jeu 14/06/2018



Cotation de la densité de sargasses pour la journée du 14/06/2018

Couverture nuageuse partielle :

- Mer des Caraïbes et îles du Nord sous couvert nuageux
- Fenêtres d'observation présentes en Atlantique.

Deux radeaux sont détectés au sud-est de Marie Galante à environ 5 km des côtes.

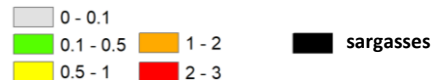
Un radeau est visible dans le canal des Saintes et un autre au sud de Basse-Terre.

Des radeaux sont toujours présents à l'ouest de Basse-Terre.

A proximité de la Désirade, un radeau est visible à l'est, côté Atlantique, à environ 12 km de l'île.

Côté îles du Nord, deux radeaux sont détectés au nord-est de Saint-Barthélemy, un autre est visible à 13 km au sud-ouest de l'île.

% de couverture

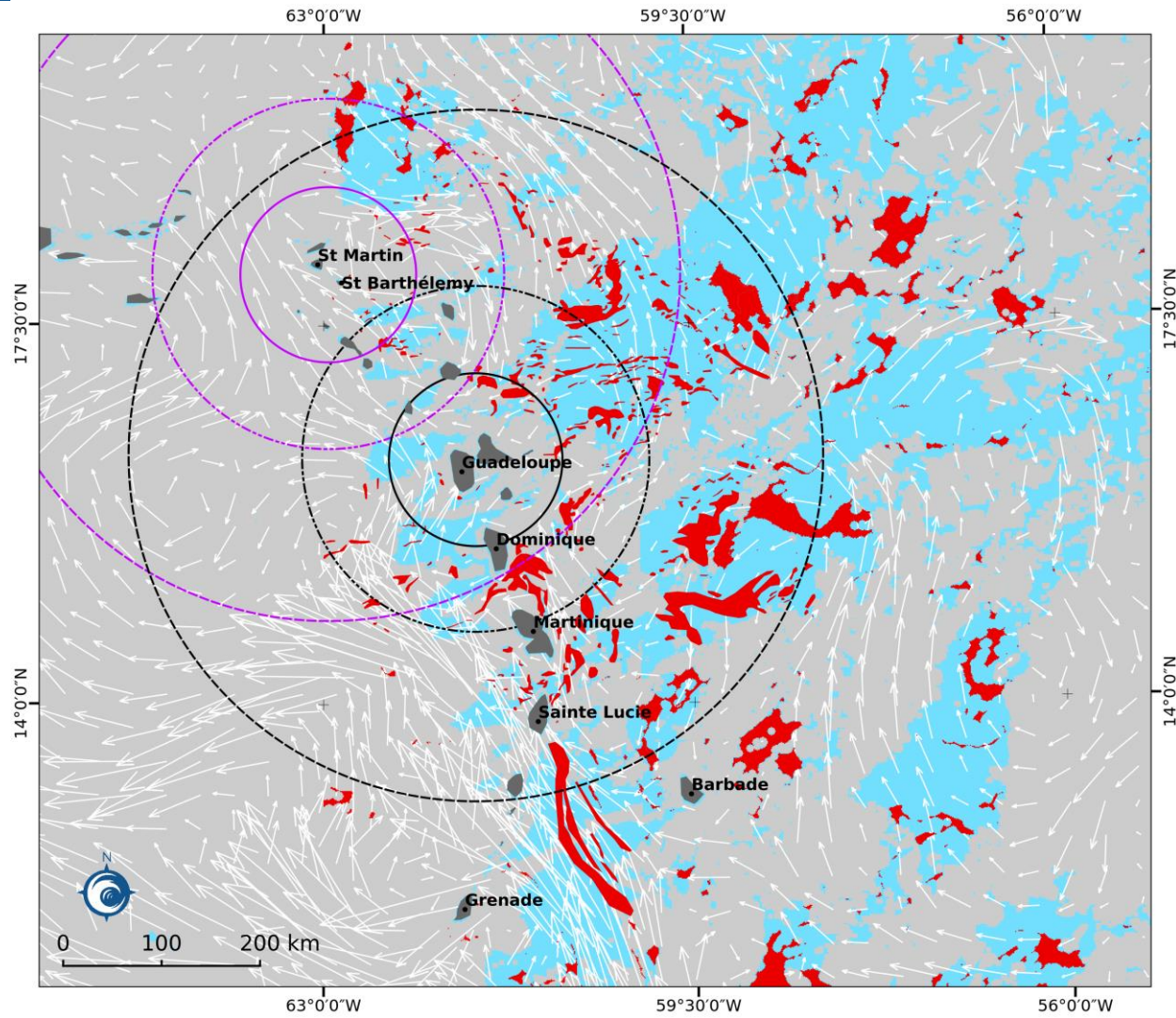


Sources :

Réalisation : i-Sea 2018
Traitements issus des produits AFAI (University of South Florida) pour la journée du 14/06/2018
Produits AFAI dérivés des images MODIS/VIIRS 1km © NASA

Système de coordonnées : UTM 20N

Dynamique des radeaux de sargasses– Jeu 14/06/2018



Superposition des radeaux de sargasses détectés à partir des images du 14/06/2018 aux courants de surface.

Les radeaux visibles au sud-est de Marie Galante se dirigent vers le nord-est. Celui visible à l'est de la Désirade est sous l'influence de courants orientés vers le sud et ne devrait pas impacter l'île si les simulations continuent dans ce sens les jours suivants.

Le radeau détecté dans le canal des Saintes se dirige vers la façade sud de Basse-Terre.

La situation telle qu'observée le 14/06/2018 présente un risque d'échouage en direction de la Guadeloupe.

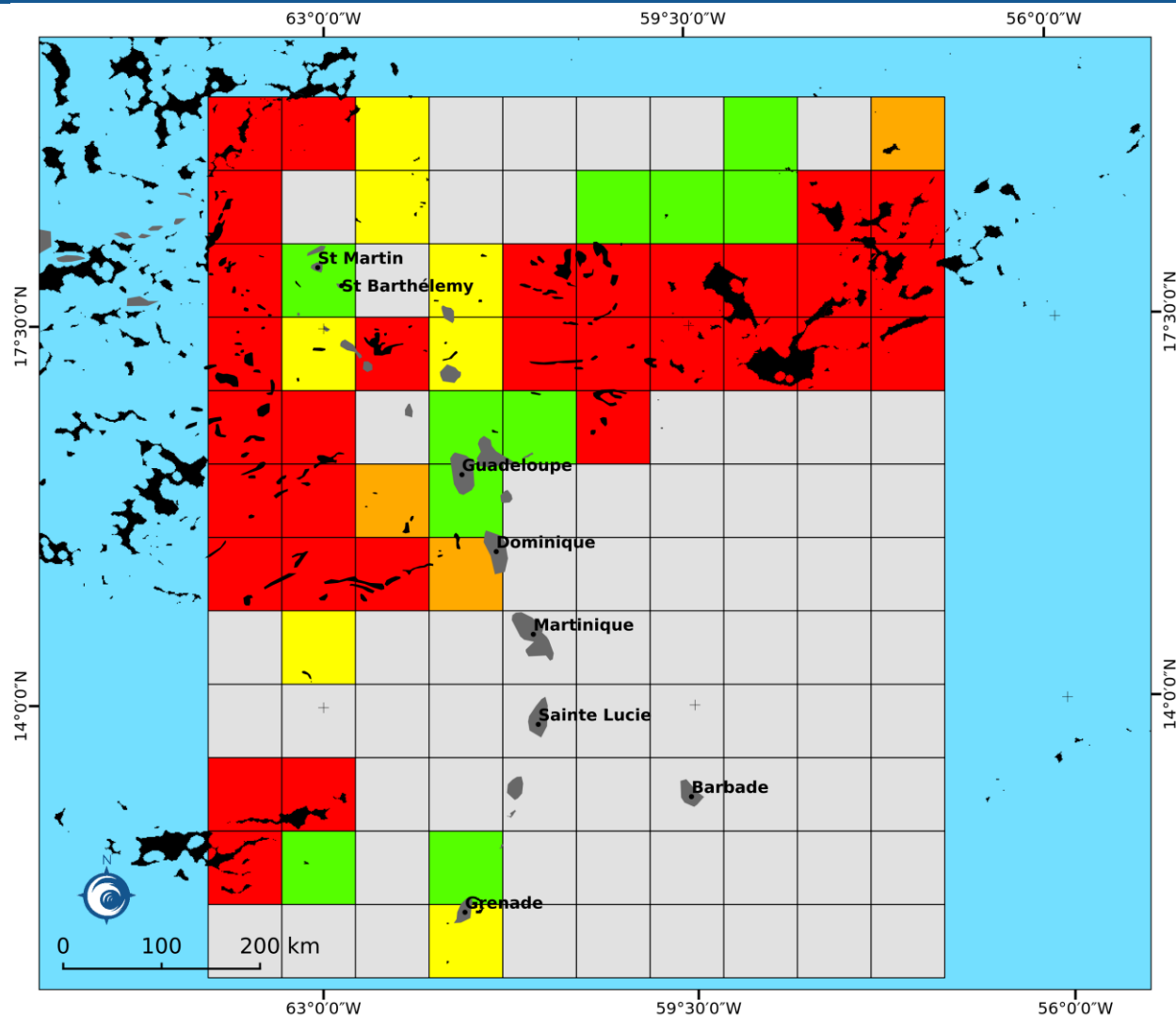
A proximité des îles du Nord, les deux radeaux détectés au nord-est de Saint-Barthélemy poursuivent leur dérive vers le nord-nord-est.

Radeaux de sargasses 14/06/2018	Courants de surface
Distances (km) 100 200 400	<ul style="list-style-type: none"> → 10 cm/s → 50 cm/s ■ nuages

Sources :
Réalisation : i-Sea 2018
Traitements issus des produits AFAI (University of South Florida) pour la journée du 14/06/2018
Produits AFAI dérivés des images MODIS/VIIRS 1km © NASA
Courant de surface HYCOM

Système de coordonnées : UTM 20N

Cartographie de densité des sargasses – Ven 15/06/2018



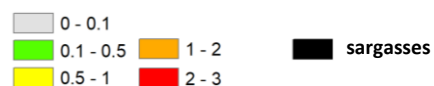
Cotation de la densité de sargasses pour la journée du 15/06/2018

Couverture nuageuse quasi totale sur les régions d'intérêt.

Un radeau est visible au nord-est de Basse-Terre, à environ 7 km des côtes.

Les îles du Nord sont sous couvert nuageux.

% de couverture

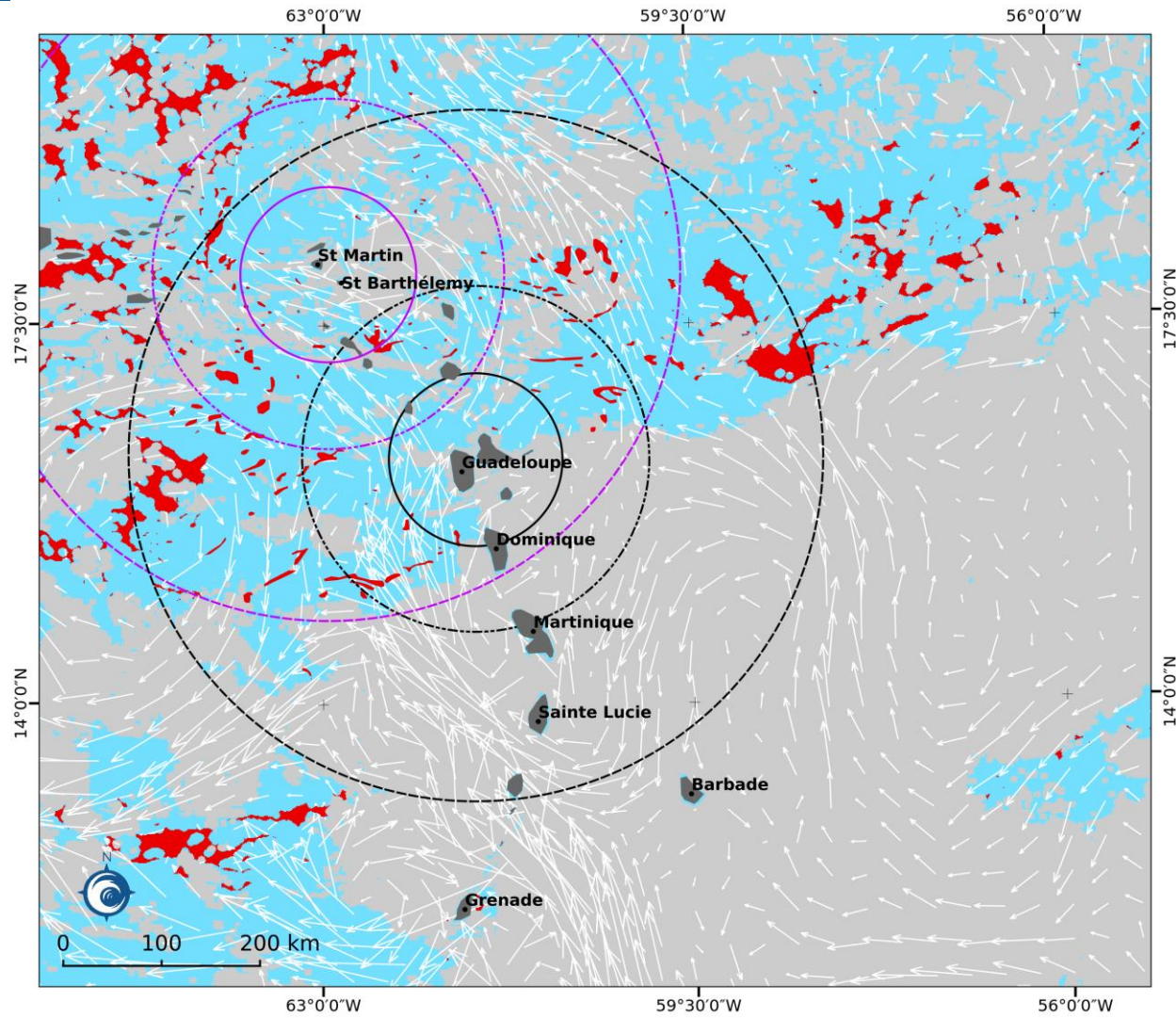


Sources :

Réalisation : i-Sea 2018
Traitements issus des produits AFAI (University of South Florida) pour la journée du 15/06/2018
Produits AFAI dérivés des images MODIS/VIIRS 1km © NASA

Système de coordonnées : UTM 20N

Dynamique des radeaux de sargasses – Ven 15/06/2018



Superposition des radeaux de sargasses détectés à partir des images du 15/06/2018 aux courants de surface.

Le radeau détecté au nord-est de Basse-Terre se dirige vers la côte sous l'influence de courants orientés vers le sud-ouest.

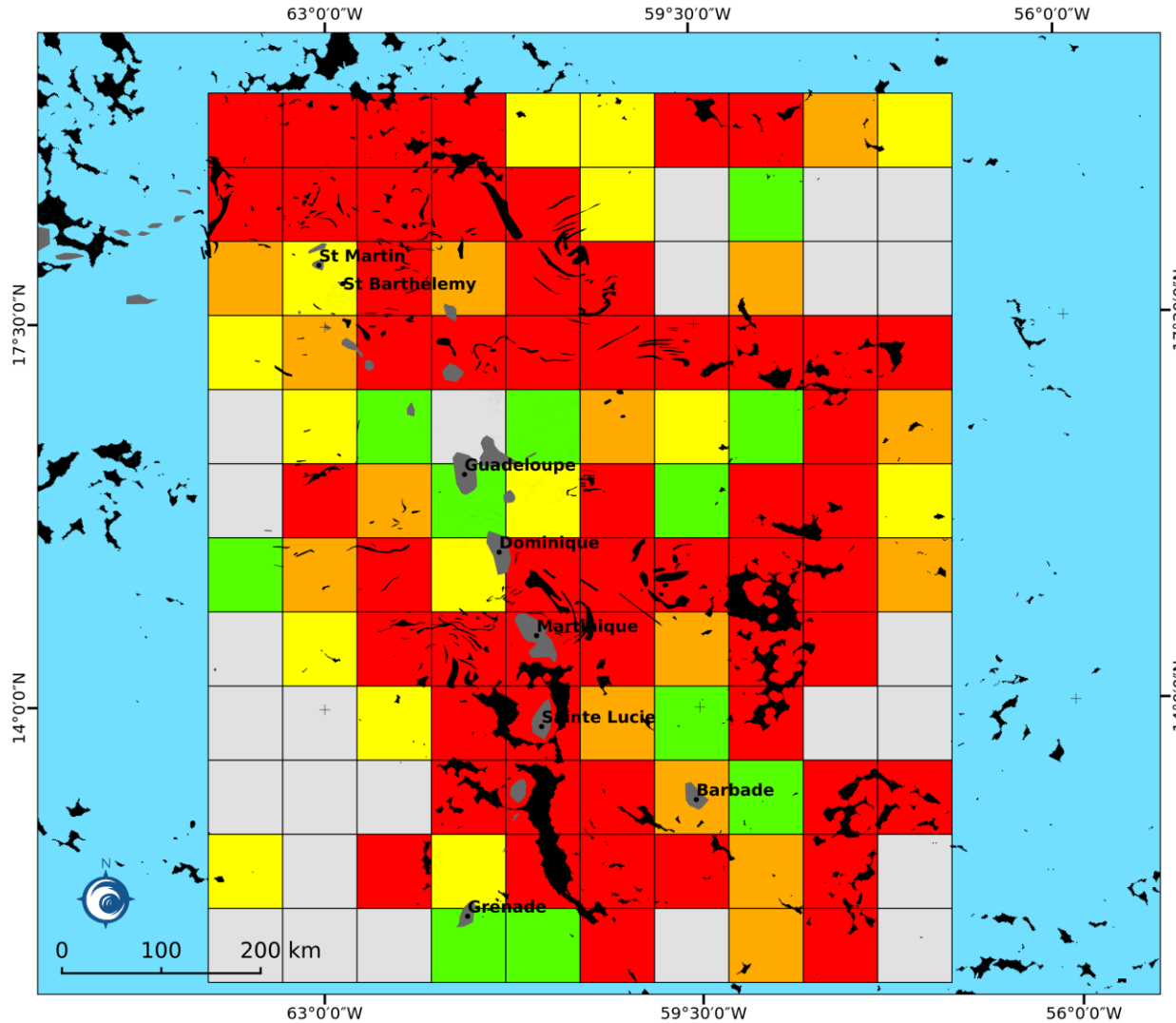
La situation telle qu'observée le 15/06/2018 présente un risque d'échouage en direction de la Guadeloupe.

Radeaux de sargasses 15/06/2018	Courants de surface
Distances (km) 100 200 400	 10 cm/s  50 cm/s  nuages

Sources :
Réalisation : i-Sea 2018
Traitements issus des produits AFAI (University of South Florida) pour la journée du 15/06/2018
Produits AFAI dérivés des images MODIS/VIIRS 1km © NASA
Courant de surface HYCOM

Système de coordonnées : UTM 20N

Cartographie de densité des sargasses – Sam 16/06/2018



Cotation de la densité de sargasses pour la journée du 16/06/2018

Bonne visibilité sur les secteurs d'intérêt.

L'image Sentinel 2 du jour révèle la présence de nombreux radeaux à proximité de l'archipel guadeloupéen.

Plusieurs radeaux sont visibles au nord-est de Marie Galante, ainsi que dans le passage de la Dominique.

Des radeaux sont détectés dans le canal des Saintes et celui de Marie Galante.

La Désirade est ceinturée par les algues.

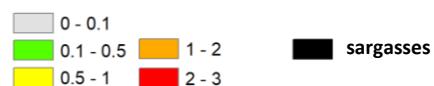
Un radeau filiforme est visible au nord-est de Basse-Terre, au contact de la côte.

De nombreux radeaux circulent au sud des Saintes.

L'image confirme l'omniprésence de radeaux à l'ouest de Basse-Terre.

A proximité des îles du Nord, le zoom S2 dévoile les très nombreux radeaux présents au sud de Saint-Barthélemy, et plus au large, au nord-est des deux îles.

% de couverture

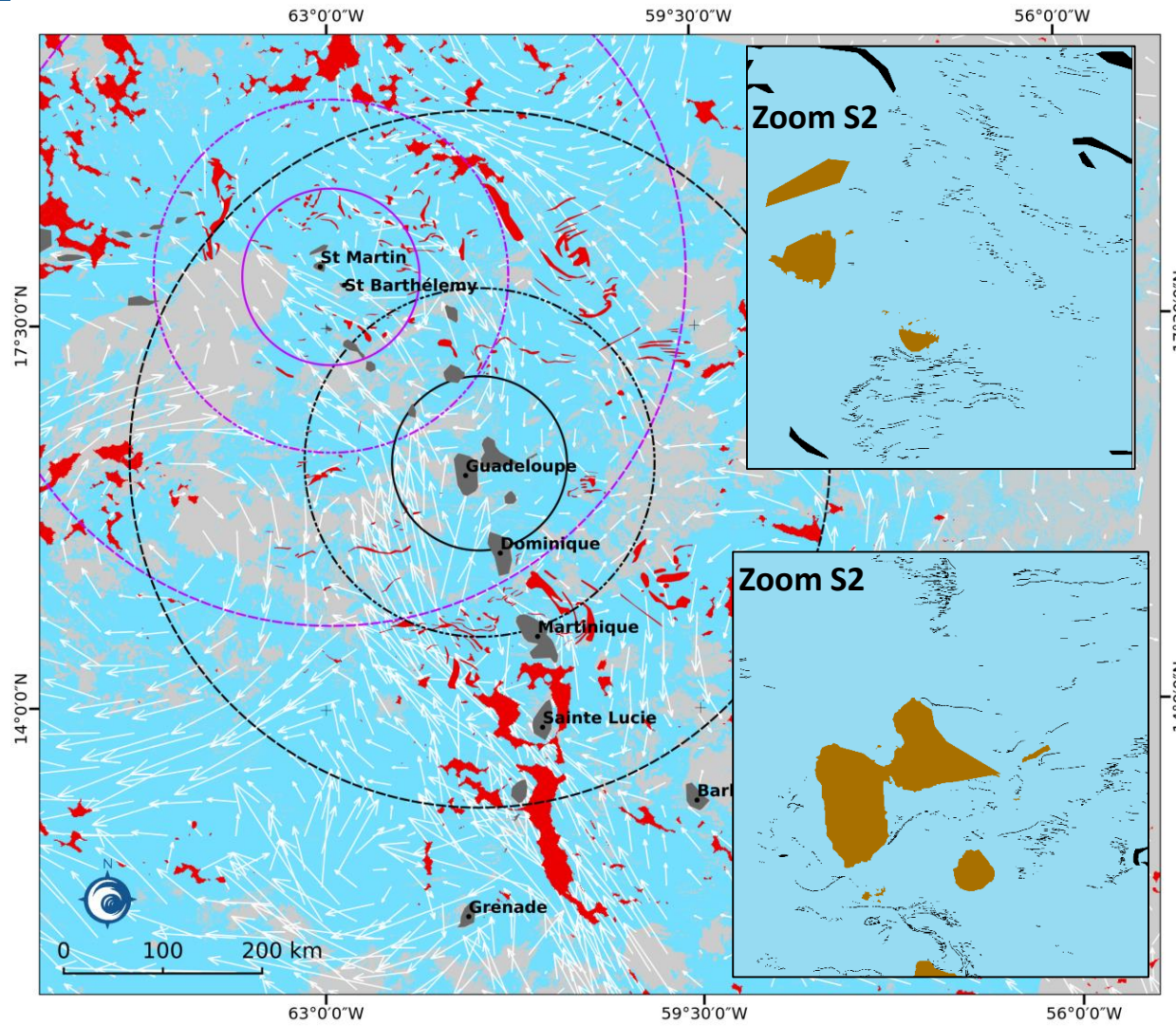


Sources :

Réalisation : i-Sea 2018
 Traitements issus des produits AFAI (University of South Florida) pour la journée du 16/06/2018
 Produits AFAI dérivés des images MODIS/VIRS 1km © NASA
 Image Sentinel 3 – 300m – du 16/06/2018 © CNES;
 Image Sentinel 2 – 10m – du 16/06/2018 © ESA

Système de coordonnées : UTM 20N

Dynamique des radeaux de sargasses – Sam 16/06/2018



Superposition des radeaux de sargasses détectés à partir des images du 16/06/2018 aux courants de surface.

Les nombreux radeaux visibles au nord-est de Marie Galante devraient s'écarter de l'île sous l'influence de courants orientés vers l'est.

La proximité immédiate de radeaux autour de la Désirade implique un risque d'échouage en direction de cette île.

De même, les radeaux visibles au nord-est de Basse-Terre, dans le canal des Saintes et dans celui de Marie Galante se dirigent vers les côtes guadeloupéennes.

Les nombreux radeaux visibles au sud ainsi qu'à l'est des Saintes sont sous l'influence de courants orientés vers le nord, en direction de l'archipel. Ceux détectés au sud-ouest de Marie Galante sont sous l'influence de courants orientés vers le nord-est, en direction de l'île.

La situation telle qu'observée le 16/06/2018 présente un risque d'échouage en direction de la Guadeloupe, la Désirade, Marie Galante et les Saintes.

Côté îles du Nord, les radeaux visibles au nord des deux îles poursuivent leur dérive vers le nord-nord-ouest.

A proximité de la façade est de Saint-Barthélemy, les nombreux radeaux visibles se déplacent vers l'ouest-nord-ouest. Il est fort probable qu'une partie d'entre eux accroche l'île sur leur passage.

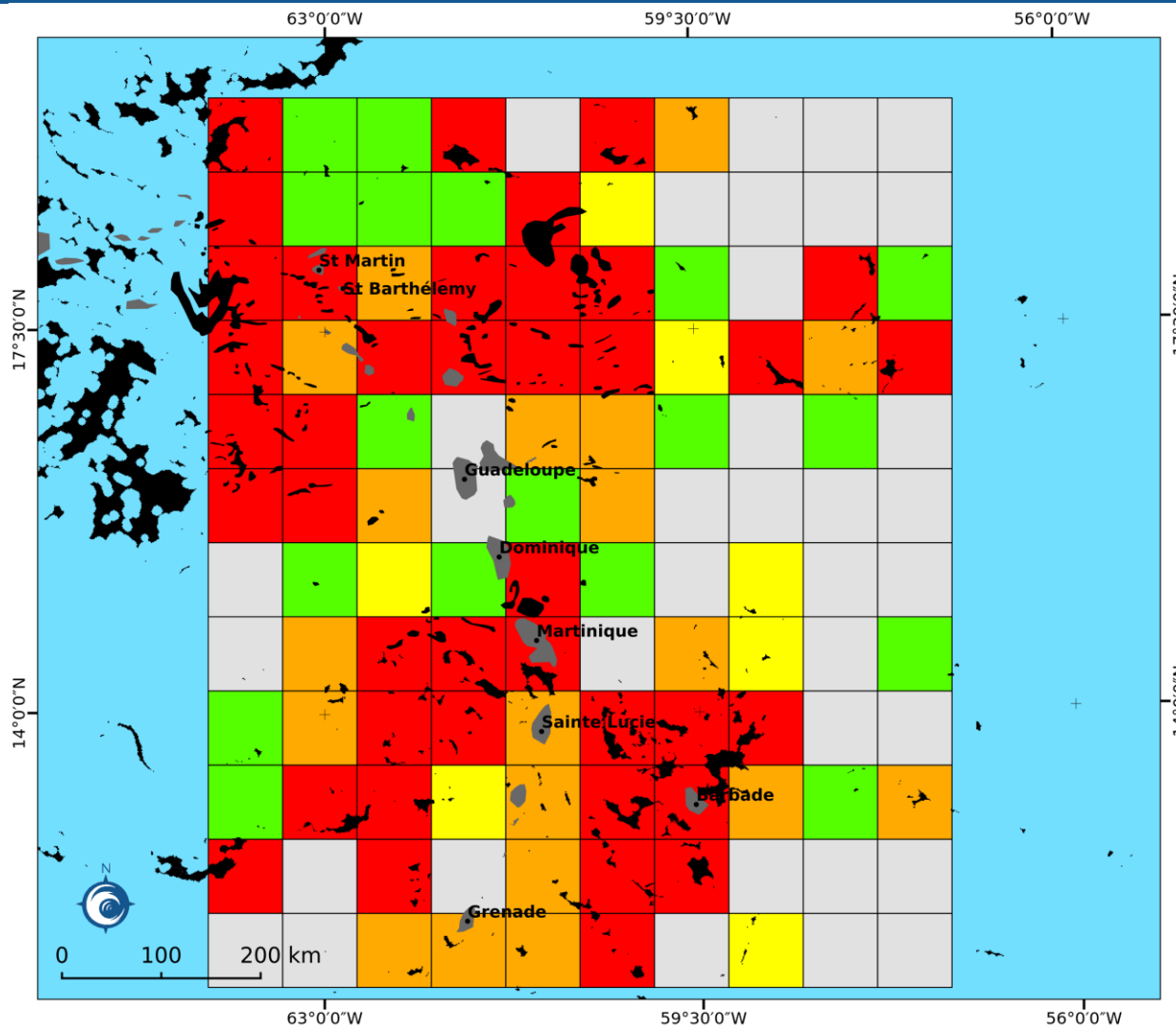
La situation telle qu'observée le 16/06/2018 présente un risque d'échouage en direction de Saint-Barthélemy.

Radeaux de sargasses 16/06/2018	Courants de surface
Distances (km) 100 200 400	→ 10 cm/s → 50 cm/s ■ nuages

Sources :
Réalisation : i-Sea 2018
Traitements issus des produits AFAl (University of South Florida) pour la journée du 16/06/2018
Produits AFAl dérivés des images MODIS/VIIRS 1km © NASA
Courant de surface HYCOM
Image Sentinel 3 – 300m – du 16/06/2018 © CNES; Image Sentinel 2 – 10m – du 16/06/2018 © ESA

Système de coordonnées : UTM 20N

Cartographie de densité des sargasses – Dim 17/06/2018

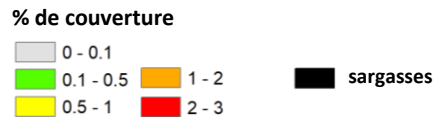


Cotation de la densité de sargasses pour la journée du 17/06/2018

- Couverture nuageuse partielle :
- Archipel guadeloupéen sous couvert nuageux
 - Présence de fenêtres d'observation en mer des Caraïbes et Atlantique.

A proximité de l'archipel guadeloupéen, les seuls radeaux détectés sur l'image du jour en raison d'une couverture nuageuse dense se trouvent au nord-est de la Désirade ainsi qu'à l'est de cette île plus au large.

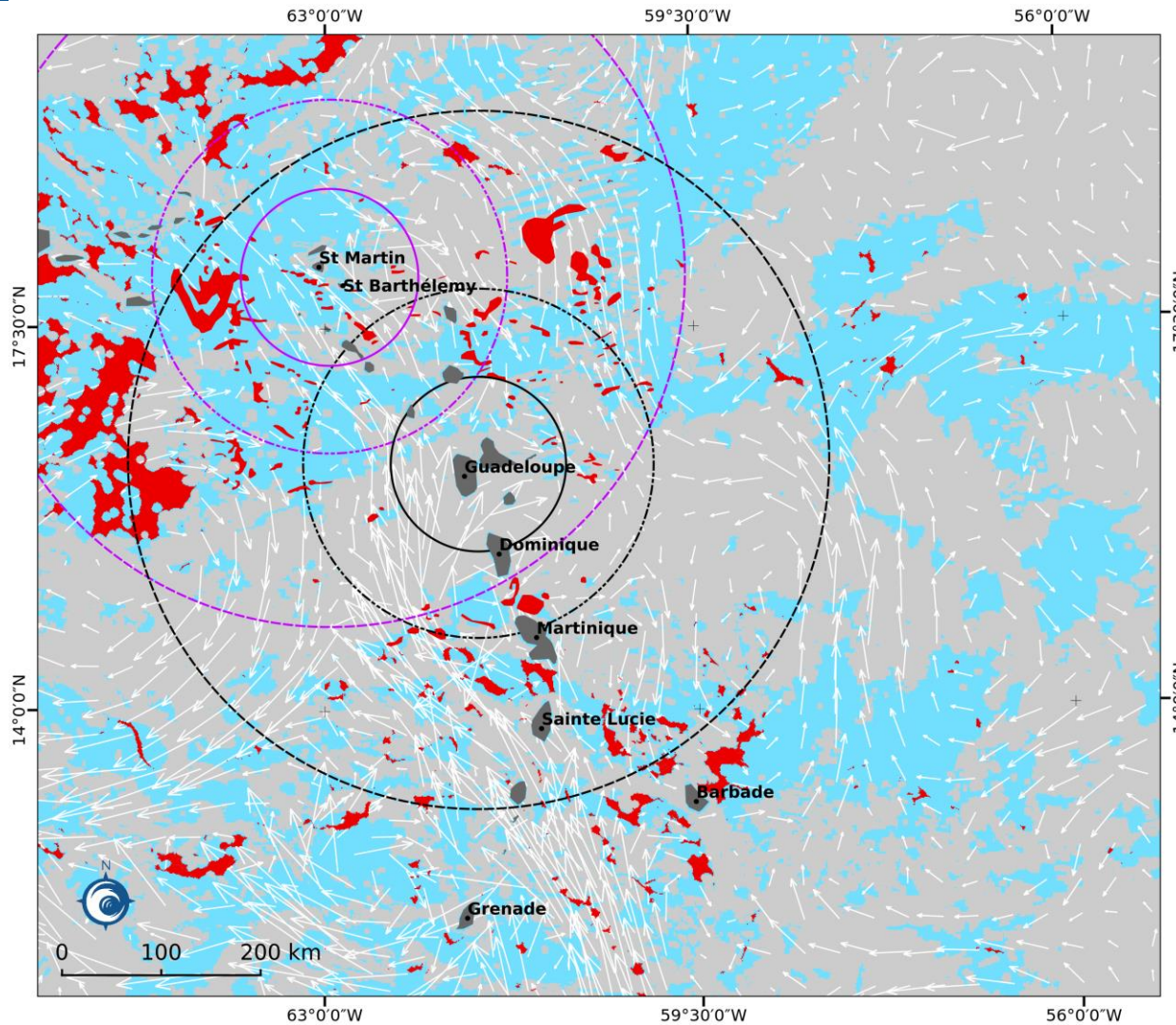
Côté îles du Nord, un radeau est détecté au sud-est de Saint-Barthélemy et plusieurs radeaux empruntent le passage au sud de ces deux îles.



Sources :
 Réalisation : i-Sea 2018
 Traitements issus des produits AFAI (University of South Florida) pour la journée du 17/06/2018
 Produits AFAI dérivés des images MODIS/VIIRS 1km © NASA

Système de coordonnées : UTM 20N

Dynamique des radeaux de sargasses – Dim 17/06/2018



Superposition des radeaux de sargasses détectés à partir des images du 17/06/2018 aux courants de surface.

Le radeau visible au nord-est de la Désirade poursuit sa dérive vers le sud-est, comme les autres radeaux détectés plus au large, sans impacter l'île.

Le radeau détecté au sud-est de Saint-Barthélemy est sous l'influence de courants orientés vers le nord-ouest en direction de l'île.

Les nombreux radeaux visibles au sud des deux îles poursuivent leur dérive vers le nord-ouest, il est probable que la traîne de certains d'entre eux accroche Saint-Martin sur son passage.

La situation telle qu'observée le 17/06/2018 présente un risque d'échouage en direction de Saint-Barthélemy et Saint-Martin.

Radeaux de sargasses
17/06/2018

Distances (km)
100 200 400

Courants de surface

10 cm/s

50 cm/s

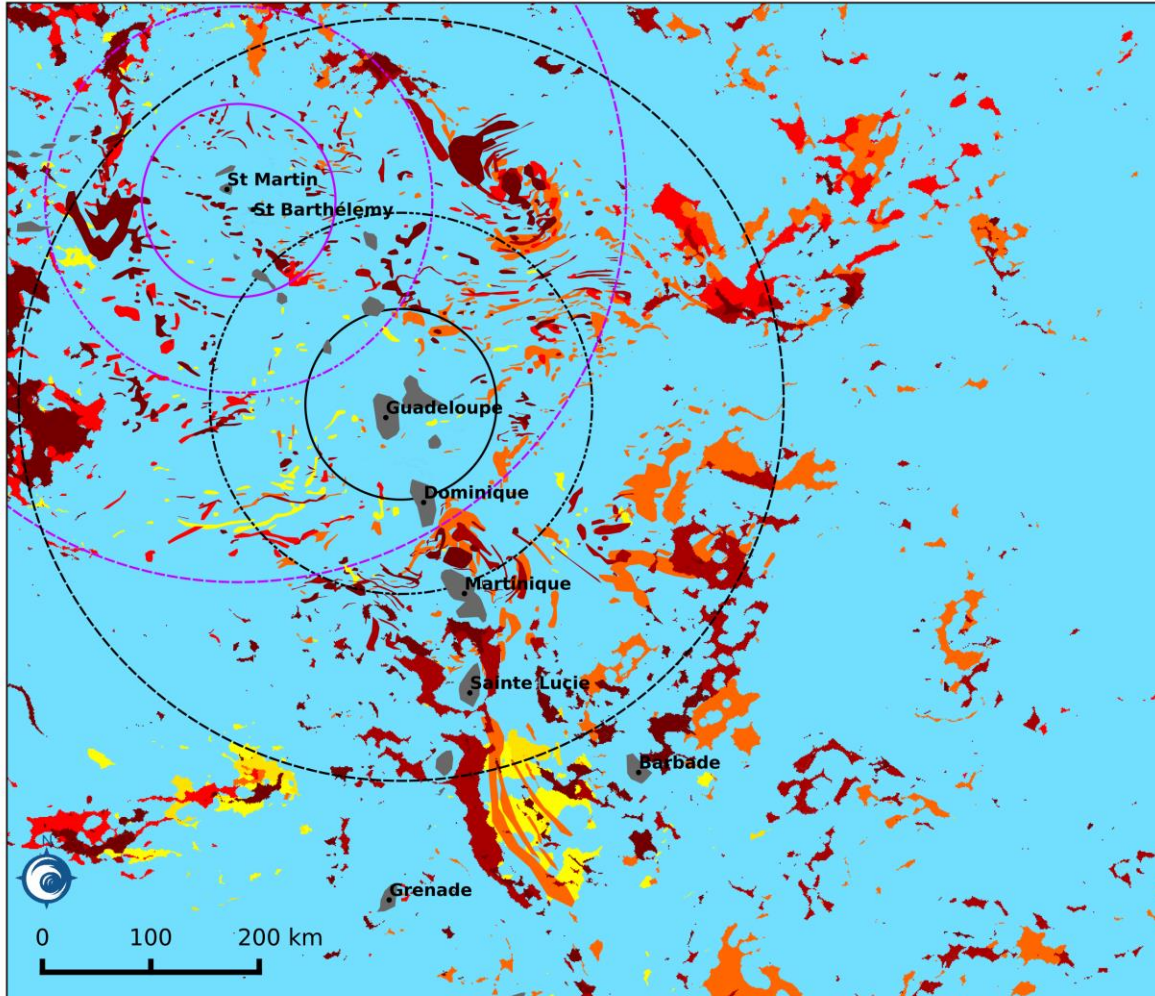
nuages

Sources :

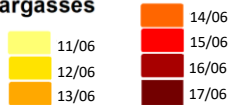
Réalisation : i-Sea 2018
Traitements issus des produits AFAI (University of South Florida) pour la journée du 17/06/2018
Produits AFAI dérivés des images MODIS/VIIRS 1km © NASA
Courant de surface HYCOM

Système de coordonnées : UTM 20N

Synthèse - période du 11/06/2018 au 17/06/2018



Radeaux de sargasses



Sources :

Réalisation : i-Sea 2018
 Traitements issus des produits AFAI (University of South Florida) pour la semaine du 11/06/2018 au 17/06/2018
 Produits AFAI dérivés des images MODIS/VIIIRS 1km © NASA
 Image Sentinel 3 – 300m – du 16/06/2018 © CNES;
 Image Sentinel 2 – 10m – du 16/06/2018 © ESA

Système de coordonnées : UTM 20N